

变系数 Volterra 型积分微分方程的 2 种 Legendre 谱 Galerkin 数值积分方法

范友康¹, 张克磊¹, 覃永辉^{1,2,3}

- (1. 桂林电子科技大学 数学与计算科学学院, 广西 桂林 541004;
2. 桂林电子科技大学 广西自动检测技术与仪器重点实验室, 广西 桂林 541004;
3. 桂林电子科技大学 广西高校数据分析与计算重点实验室, 广西 桂林 541004)

摘要: 为了进一步提高求解 Volterra 型积分微分的数值精度, 针对一种变系数 Volterra 型积分微分方程, 提出了 2 种 Legendre 谱 Galerkin 数值积分法。采用 Galerkin Legendre 数值积分对 Volterra 型积分微分方程的积分项进行预处理, 对其构造 Legendre tau 格式, 同时用 Chebyshev-Gauss-Lobatto 配置点对变系数和积分项部分进行计算, 并通过对方程的定义区间进行分解, 提出了一种多区间 Legendre 谱 Galerkin 数值积分法。该方法的格式对于奇数阶模型具有对称结构。此外, 通过引入 Volterra 型积分微分方程的最小二乘函数, 构造了 Legendre 谱 Galerkin 最小二乘数值积分法。该方法对应的代数方程系数矩阵是对称正定的。数值算例验证了这 2 种 Legendre 谱 Galerkin 数值积分方法的高阶精度和有效性。

关键词: 积分微分方程; 数值积分; Chebyshev-Gauss-Lobatto 插值; 最小二乘法; Legendre Galerkin

中图分类号: O241.83

文献标志码: A

文章编号: 1673-808X(2023)02-0158-07

Two kinds of Legendre spectral Galerkin numerical integration methods for Volterra type integral differential equations with variable coefficient

FAN Youkang¹, ZHANG Kelei¹, QIN Yonghui^{1,2,3}

- (1. School of Mathematics and Computing Science, Guilin University of Electronic Technology, Guilin 541004, China;
2. Guangxi Key Laboratory of Automatic Detecting Technology and Instruments, Guilin University of Electronic Technology, Guilin 541004, China;
3. Guangxi Key Laboratory of Cryptography and Information Security, Guilin University of Electronic Technology, Guilin 541004, China)

Abstract: In order to further improve the numerical accuracy of solving Volterra integro-differential, two kinds of Legendre spectral Galerkin numerical integration methods are investigated for the Volterra-type integro-differential equation with variable coefficients. Firstly, the Galerkin Legendre numerical integration is applied to deal with the integral term of the Volterra-type integro-differential equations. Secondly, the Legendre tau scheme is developed for the Volterra-type integral-differential equations with variable coefficient, and the Chebyshev-Gauss-Lobatto collocation point is used to the calculation of the variable coefficient and integral term. Finally, by decomposing the definition interval of the function, the multi-interval Legendre spectral Galerkin numerical integration method is also designed. Its scheme of the proposed method has symmetric structure for odd-order model. In addition, by introducing the least squares function of the Volterra type integro-differential equation, the Legendre spectral Galerkin least-squares numerical integration method of is constructed. The corresponding coefficient matrix of the algebraic equation is symmetric positive. Some numerical examples are given to test the high-order accuracy and the effectiveness of our methods.

Key words: integral differential equations; numerical integration; Chebyshev-Gauss-Lobatto interpolation; least square method; Legendre Galerkin

收稿日期: 2022-03-31

基金项目: 国家自然科学基金(12161025); 广西自动检测技术与仪器重点实验室基金(YQ22106); 广西科技基地和人才专项(桂科 AD18281025); 桂林电子科技大学研究生教育创新计划(2020YCXS086)

通信作者: 覃永辉(1985—), 男, 副教授, 博士, 研究方向为偏微分方程数值解法。E-mail: yonghui1676@163.com

引文格式: 范友康, 张克磊, 覃永辉. 变系数 Volterra 型积分微分方程的 2 种 Legendre 谱 Galerkin 数值积分方法[J]. 桂林电子科技大学学报, 2023, 43(2): 158-164.

Volterra 型积分微分方程作为带记忆性质的数学模型,通常出现在超流体问题^[1]、金融数学问题^[2]、Turbulent 扩散问题^[3]等领域。通常来说,由于 Volterra 型积分微分方程具有记忆性质,它的精确解很难得到,且也为构造其数值解法带来许多麻烦^[1]。为了推广 Volterra 型积分微分方程在实际问题的应用,相关学者进行了研究^[1,4]。另外,对于变系数 Volterra 积分微分方程,当采用谱配置方法逼近时,得到的矩阵往往是稠密的,因此增加了求解的难度^[1,4]。

考虑如下积分微分方程:

$$\begin{cases} \partial_x u(x) = a(x)u(x) + f(x) + \int_0^x K(x,s)u(s)ds, & x \in I = (0, T], \\ u(0) = u_0. \end{cases} \quad (1)$$

定义 $D := \{(x, s) \mid 0 \leq s \leq x \leq T\}$, 假设 $f(x)$ 、 $a(x)$ 为已知的光滑函数, $K(x, s)$ 为核函数。对于变系数 Volterra 积分微分方程(1), 近年来,各种数值解法也得到广泛关注与研究,如配置法^[4-6]、隐式 Runge-Kutta 法^[7-8]、hp-连续 Petrov-Galerkin 有限元法^[9]、拟谱方法^[10]、Legendre Galerkin 方法^[11]、谱 Galerkin 多项式法^[12]、谱 Petrov-Galerkin 方法^[13]、Moving 最小二乘法^[14-15]等。

许多学者对谱方法求解积分方程进行了研究。如 Jiang^[16] 研究了 Volterra 型积分微分方程的谱 Legendre 配置法,从理论上给出了谱精度收敛的证明。Li 等^[17] 给出了线性重心有理法求解 Volterra 积分微分方程。Gu^[18] 介绍了一种多步 Chebyshev 谱配置法。Wang 等^[19] 研究了 Volterra 积分微分方程的 hp-Legendre Jacobi 谱配置法,得到了关于光滑核和弱奇异核的一些近似结果。

Tang 等^[20] 研究了具有周期边界条件的抛物型方程的单区间和多区间 Legendre tau 谱方法。Zhang 等^[21] 针对一阶常微分方程的初值问题提出了 Legendre tau 方法。Qin 等^[22] 研究了发展方程的 Legendre tau Galerkin 谱配置法。Karimi 等^[23] 提出了一种最小二乘法求解线性 Fredholm 积分方程。胡玉巧等^[24] 针对一种抛物型方程研究了 Legendre Galerkin 谱配置最小二乘法。Maleknejad 等^[25] 提出了一种块脉冲函数运算矩阵法,它利用块脉冲函数及其积分的随机运算矩阵,可将 Ito-Volterra 积分方程简化为线性下三角方程组,但得到的结果精度不是很高。在文献^[25]的基础上,Ahmadinia 等^[26] 提出了一种基于最小二乘法和块脉冲函数的求解 Ito-Volterra 积分方程的计算方法,其精度优于块脉冲函数运算矩阵法。本文的方法对积分微分方程中的积分项

部分先采用 Galerkin Chebyshev-Gauss-Lobatto 或 Legendre-Gauss-Lobatto 数值积分方法进行离散,然后给出 Legendre tau 格式,采用 Chebyshev 对变系数部分和源项进行插值处理。

1 符号和格式

对任意的 $r \geq 0$, 设 $H^r(I)$ 为经典 Sobolev 空间。令 $P_N(I)$ 为次数不超过 N 的多项式集合。 I_N^C 为 Chebyshev-Gauss-Lobatto 插值算子 $I_N^C: C(\bar{I}) \rightarrow P_N(I)$, 使得

$$I_N^C u(x_i^C) = u(x_i^C), \quad 0 \leq i \leq N.$$

令 $I_N^L: C(\bar{I}) \rightarrow P_N(I)$ 为 Legendre-Gauss-Lobatto 插值算子, 使得

$$I_N^L u(x_i^L) = u(x_i^L), \quad 0 \leq i \leq N,$$

其中, $\{x_i^C\}$ 、 $\{x_i^L\}$ 分别为 Chebyshev-Gauss-Lobatto 点、Legendre-Gauss-Lobatto 点。

1.1 Legendre 谱 Galerkin 数值积分法

考虑式(1)的弱格式: 求 $u \in H^1(I)$, 使得

$$\begin{cases} (\partial_x u, v) = (au, v) + \left(\int_0^x K(x, s)u(s)ds, v \right) + (f, v), \\ u(0) = u_0, \quad \forall v \in L^2(I). \end{cases} \quad (2)$$

因此, 式(2)的 Legendre 谱 Galerkin 数值积分法为: 对于任意 $v \in P_{N-1}(I)$, 求 $u_N \in P_N(I)$, 使得

$$\begin{cases} (\partial_x u_N, v) = (I_N^C[au_N], v) + (I_N^C f, v) + \left(I_N^C \int_0^x I_N^L(K(x, s)u_N(s))ds, v \right), \\ u(0) = u_0. \end{cases} \quad (3)$$

考虑多区间 Legendre 谱 Galerkin 数值积分格式。首先, 将区间 $I = [0, T]$ 划分为一些子区间 $0 = x_0 < x_1 < x_2 < \cdots < x_{i-1} < x_i < \cdots < x_M = T$, 即 $I = \bigcup_{i=1}^M (x_{i-1}, x_i]$, $i = 1, 2, \cdots, M$ 。

$$u^i(x) = u(x)|_{x \in (x_{i-1}, x_i]}, \quad 1 \leq i \leq M.$$

令 $I_i = (x_{i-1}, x_i]$, $i = 1, 2, \cdots, M$ 。设 $P_{N_i}(I_i)$ 为区间 I_i 上次数不超过 N_i 的多项式集合。定义 I_i 上对应的 Chebyshev 插值算子 $I_{i, N_i}^C: C(\bar{I}_i) \rightarrow P_{N_i}(I_i)$ 为

$$\begin{aligned} (I_{i, N_i}^C u)|_{I_i}(x_{i, j}^C) &:= u|_{I_i}(x_{i, j}^C), \quad j = 0, 1, \cdots, N_i, \\ x_{i, j}^C &\in I_i, \quad 1 \leq i \leq M. \end{aligned}$$

Legendre 插值算子 $I_{i, N_i}^L: C(\bar{I}_i) \rightarrow P_{N_i}(I_i)$ 为

$$\begin{aligned} (I_{i, N_i}^L u)|_{I_i}(x_{i, j}^L) &:= u|_{I_i}(x_{i, j}^L), \quad j = 0, 1, 2, \cdots, N_i, \\ x_{i, j}^L &\in I_i, \quad 1 \leq i \leq M. \end{aligned}$$

在每个区间采用 Legendre 谱 Galerkin 数值积分求解,即式(1)的多区间 Legendre Galerkin 数值积分格式为:

对于任意 $v \in P_{N_k-1}(I_k)$, 求 $u_N^k \in P_{N_k}(I_k)$, 使得

$$\begin{cases} (\partial_x u_{N_k}^k, v) = (I_{k,N_k}^C [a u_{N_k}^k], v) + (I_{k,N_k}^C f, v) + \\ \sum_{i=1}^{k-1} (I_{i,N_i}^C \int_{I_i} I_{i,N_i}^L K(x, \eta) u_{N_i}^i(\eta) d\eta, v) + \\ (I_{k,N_k}^C \int_{x_{k-1}}^x I_{k,N_k}^L (K(x, s) u_{N_k}^k(s)) ds, v), \\ u_N^1 = u(0), u_N^i = u_{N_i}^{i-1}(x_{i-1}). \end{cases} \quad (4)$$

1.2 算法实施

取试探基函数^[22]为

$$\begin{aligned} \phi_0(x) &= 1, \phi_1(x) = L_{T,0}(x) + L_{T,1}(x), \\ \phi_k(x) &= L_{T,k}(x) - L_{T,k-2}(x), \quad 2 \leq k \leq N, \end{aligned}$$

其中: $L_{T,l}(x)$ 为位移 Legendre 多项式; l 为多项式的次数。令

$$u_{N_k}^k(x) = \sum_{i=1}^{N_k} \hat{u}_i^k \phi_i(x) + u_{N_k}^k.$$

引入刚度矩阵 \mathbf{S} 和质量矩阵 \mathbf{M} :

$$\begin{aligned} \mathbf{S} &= (S_{ij}) = (\phi_j', L_{T,i}), \\ \mathbf{M} &= (M_{ij}) = (\phi_j, L_{T,i}). \end{aligned}$$

$$\text{令 } \eta := \frac{h_i}{2}x + \frac{x_{i-1} + x_i}{2}, s := s(x, \tau) = \frac{\tau + 1}{2}x.$$

在式(4)中,取 $v = L_{T,l}(x), l = 1, 2, \dots, N-1$, 则式(4)的离散系统为

$$(\mathbf{S}^k - \mathbf{M}^k - \mathbf{A}^k) \mathbf{u}^k = \mathbf{F}, \quad \mathbf{u}^k = (\hat{u}_{k,1}, \hat{u}_{k,2}, \dots, \hat{u}_{k,N}^k),$$

其中,

$$I_{k,N_k}^C \left[\int_0^x I_{k,N_k}^L (K(x, s) u_{N_k}^k(s)) ds \right] =$$

$$I_{k,N_k}^C \left[\frac{x}{2} \sum_{i=1}^{N_k} \hat{u}_i^k \sum_{j=0}^{N_k} K(x, s(x, \tau_j)) \phi_i(s(x, \tau_j)) \omega_j \right],$$

则

$$\mathbf{A}^k =$$

$$\left(I_{k,N_k}^C \left[\frac{x}{2} \sum_{i=0}^N \sum_{j=0}^N K(x, s(x, \tau_j)) \phi_i(s(x, \tau_j)) \omega_j \right], L_{T,l} \right),$$

$$\mathbf{F} = (I_{N,l}^C f, L_{T,l}) + \sum_{i=1}^{k-1} (I_{i,N_i}^C \int_{I_i} I_{i,N_i}^L K(x, \eta) u_{N_i}^i(\eta) d\eta, L_{T,l}),$$

$$0 \leq l \leq N-1.$$

1.3 Legendre 谱 Galerkin 最小二乘数值积分法

对于任意的 $v \in P_N(I)$, 式(1)的最小二乘函数可定义为

$$F(v; f) = \| f - v'(x) + a(x)v(x) - \int_0^x K(x, s)v(s) ds \|^2. \quad (5)$$

相应的最小值问题为:求 $u \in P_N(I)$, 使得

$$F(u; f) = \min_{v \in P_N(I)} F(v; f).$$

因此,式(5)的变分形式为:

求 $u \in P_N(I)$, 使得

$$\begin{aligned} (\partial_x u, \partial_x v) - (a(x)u(x), \partial_x v) - \\ \left(\int_0^x K(x, s)u(s)ds, \partial_x v \right) = (f, \partial_x v), \quad \forall v \in P_N(I). \end{aligned} \quad (6)$$

进一步,给出式(6)的 Legendre Galerkin 最小二乘数值积分格式:求 $u_N \in P_N(I)$, 使得

$$\begin{aligned} (\partial_x u_N, \partial_x v) - (I_N^C [a(x)u_N(x)], \partial_x v) - \\ (I_N^C \int_0^x I_N^L K(x, s)u_N(s)ds, \partial_x v) = (I_N^C f, \partial_x v), \\ \forall v \in P_N(I). \end{aligned} \quad (7)$$

类似地,基于上述的区间划分,式(7)的多区间 Legendre Galerkin 最小二乘数值积分格式为:

求 $u_{N_k}^k \in P_{N_k}(I_k)$, 使得

$$\begin{cases} (\partial_x u_{N_k}^k, \partial_x v) = (I_{k,N_k}^C [a u_{N_k}^k], \partial_x v) + (I_{k,N_k}^C f, \partial_x v) + \\ \sum_{i=1}^{k-1} (I_{i,N_i}^C \int_{I_i} I_{i,N_i}^L K(x, \eta) u_{N_i}^i(\eta) d\eta, \partial_x v) + \\ (I_{k,N_k}^C \int_{x_k}^x I_{k,N_k}^L (K(x, s) u_{N_k}^k(s)) ds, \partial_x v), \\ u_N^1 = u(0), u_N^i = u_{N_i}^{i-1}(x_{i-1}), \forall v \in P_{N_i}(I_i). \end{cases} \quad (8)$$

格式(7)的实施过程:令基函数为如下形式^[24]

$$\begin{aligned} \varphi_0(x) &= \frac{1}{2}(L_0(x) - L_1(x)), \\ \varphi_1(x) &= \frac{1}{2}(L_0(x) + L_1(x)), \\ \varphi_k(x) &= L_k(x) - L_{k-2}(x), k \geq 2. \end{aligned}$$

引进矩阵

$$\mathbf{W} = (W_{ij}) = (\partial_x \varphi_i, \partial_x \varphi_j),$$

令 $v = \varphi_l, l = 0, 1, \dots, N$, 并代入式(7),可得

$$(\mathbf{W} - \mathbf{\Pi}) \mathbf{u} = \bar{\mathbf{F}},$$

其中:

$$\begin{aligned} \mathbf{\Pi} &= (\Pi_{kl}) = (I_N^C a(x) \varphi_k, \partial_x \varphi_l) + \\ & (I_N^C \int_0^x K(x, s) \varphi_k(s) ds, \partial_x \varphi_l); \\ \bar{\mathbf{F}} &= (I_N^C f, \partial_x \varphi_l). \end{aligned}$$

2 数值算例

分别给出一些数值算例验证所构造的 2 种方法

的高阶精度与有效性。利用 2 种数值格式解出它们的数值解,并与精确解进行比较,求出 L^∞ -范数误差。将 2 种方法的数值实验得到的数值误差与文献[18]中的误差进行比较。定义

$$h := \max\{(x_i - x_{i-1})/2; i = 0, 1, \cdots, M\}.$$

例 1 考虑 Volterra 积分微分方程

$$a(x) = \cos x, \quad K(x, s) = \frac{9}{4} e^{\frac{9(1+x)(1+s)}{4}}, \quad (9)$$

对应的精确解为 $u(x) = e^{\frac{3}{2}(1+x)} - e^{\frac{3}{2}}$ 。

本例验证 Legendre Galerkin 数值积分法的有效性。分别用式(3)、(4)求解本例,将单区间的 Legendre Galerkin 数值积分式(3)和多区间的式(4)进行比较,区间划分个数 M 取 1、2,其误差如图 1 所示。从图 1 可看出,当多项式次数 N 取 10 时,精度达到了 10^{-10} ,这表明该方法具有高阶谱精度;当取相同的多项式次数 N 时, $M=2$ 时得到的精度优于 $M=1$ 时的精度。

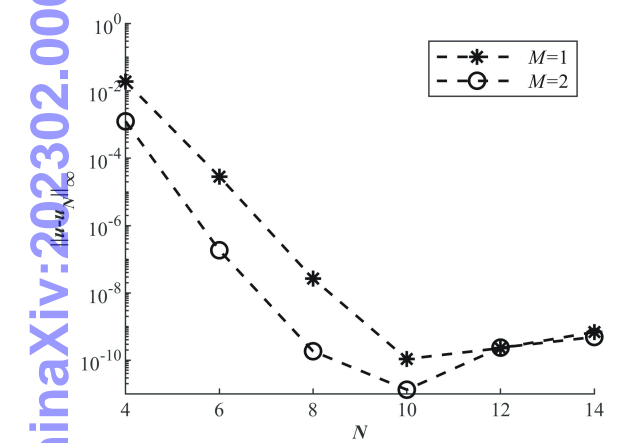


图 1 例 1 的 L^∞ -范数图像

例 2 考虑 Volterra 积分微分方程

$$\begin{cases} \partial_x u = \frac{2m+1}{2} x^{m-\frac{1}{2}} - x^{m+\frac{1}{2}} \sin x - \frac{1}{2(m+1)} x^{2(m+1)} + \\ \sin xu + \int_0^x xu + \int_0^x s^{m+\frac{1}{2}} u(s) ds, \\ u(0) = 0, \end{cases} \quad (10)$$

其精确解为 $u(x) = x^{m+\frac{1}{2}}, x \in (0, 2]$ 。

对于例 2,文献[18]用 MCSC 方法求解 Volterra 积分微分方程(10),且在表 1 中给出了其 L^∞ -范数误差。利用式(4)求解例 2 中 $m=1, 3$ 时的 Volterra 积分微分方程(10),表 1 为 L^∞ -范数误差。为了方便 2 种方法进行比较,依次取 $1/h=50, 100, 200$ 和多项式的次数为 $N_i=N=3$ 。图 2 为它们的 L^∞ -范数

误差的图像。从表 1 和图 2 可看出,当 $m=3$ 时,式(4)的精度略优于 MCSC 方法的精度; $m=1$ 时,式(4)的误差与 MCSC 方法类似。因此,可以断定式(4)对于 Volterra 积分微分方程是有高阶精度的。

表 1 $N_i=N=3$ 时,例 2 的 L^∞ -范数误差

方法	m	$1/h$		
		50	100	200
MCSC	1	4.22×10^{-4}	1.49×10^{-4}	5.27×10^{-5}
	3	2.01×10^{-7}	1.83×10^{-8}	1.65×10^{-9}
格式(4)	1	1.59×10^{-4}	5.63×10^{-5}	1.99×10^{-5}
	3	3.00×10^{-8}	2.65×10^{-9}	2.35×10^{-10}

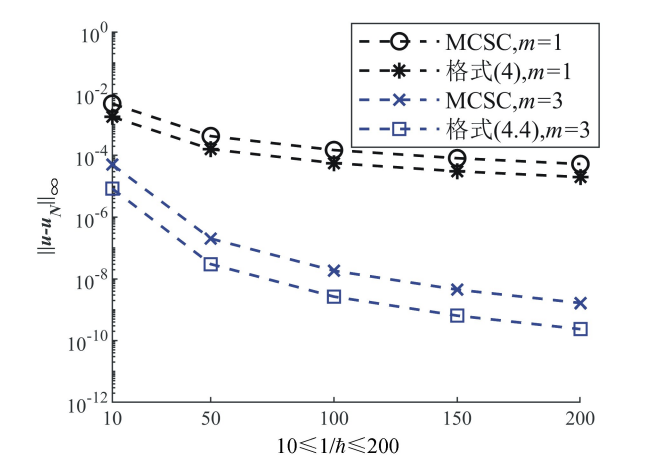


图 2 例 2 的 L^∞ -范数图像

例 3 考虑具有如下核函数和精确解的积分微分方程

$$\begin{aligned} K(x, s) &= \frac{x}{s+1}, \quad u = \log(x+1), \quad a(x) = 1, \\ x &\in [0, T], \end{aligned} \quad (11)$$

初值条件为 $u(0) = 0$ 。

在例 3 中,利用多区间 Legendre 谱 Galerkin 数值积分法(4)处理计算区间较大(T 从 50 增加到 10^3)的问题,取 $N=10, h=1/2$ 。对应的 L^∞ -范数误差如图 3 所示。从图 3 可知,随着 T 的增大,误差也随着增大,当区间长度增大到 $T=350$ 时,误差稳定在 10^{-12} ,因此当选择合适的多项式次数和区间划分,该方法对计算区间较大的问题也有效,且具有高阶谱精度。

例 4 考虑如下积分微分方程

$$\begin{cases} \partial_x u(x) = e^x (1 - \sin x - x) + (\sin x)u(x) + \\ \int_0^x e^{x-s} u(s) ds, \quad x \in (0, 2], \\ u(0) = 1. \end{cases} \quad (12)$$

假设其精确解为 $u(x) = e^x$ 。

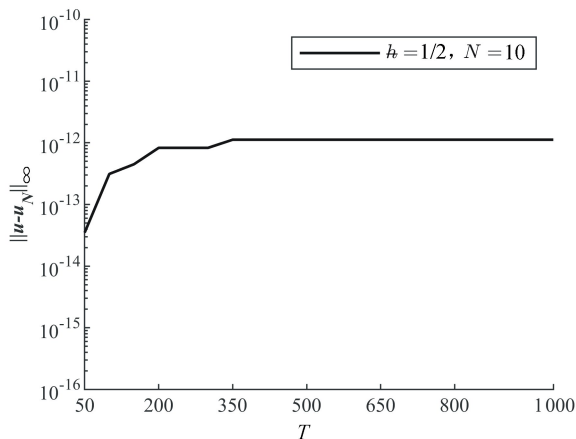


图 3 例 3 的 L^∞ -范数误差

Gu 等^[18]用多步 Chebyshev 谱配置 (MCSC) 方法求解本例, 其结果如文献[18]中图 1 所示。图 4 为式(7)的 L^∞ -范数误差曲线。1/h=1 时, MCSC 对应的是单步法, 取多项式次数 $N=2, 4, 6, 8, 10$ 和 12。从图 4 可知, 2 种方法的 L^∞ -范数误差相似。

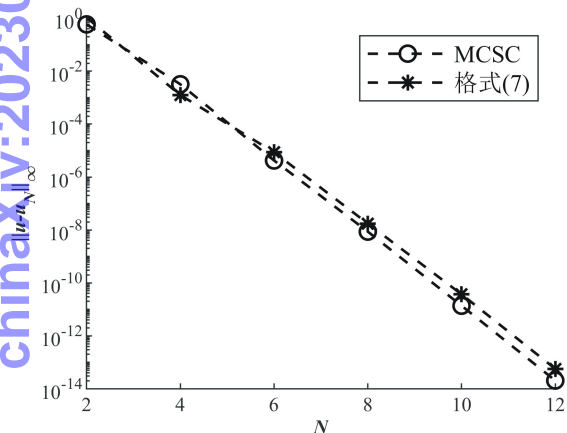


图 4 例 4 关于式(7)和 MCSC 法的 L^∞ -范数误差图像

例 4 还考虑了 MCSC 方法取不同区间划分 $1/h=10, 50, 100, 150$ 和 200 时的情况, 且多项式的次数为 $N_i=N=3$, 对应的 L^∞ -范数误差如图 5 所示。为了表明式(8)的谱精度, 在计算时同样取 $1/h=10, 50, 100, 150$ 和 200 , 图 5 为它的误差。该方法给出的数值结果略优于文献[18]。

例 5 考虑 Volterra 积分微分方程

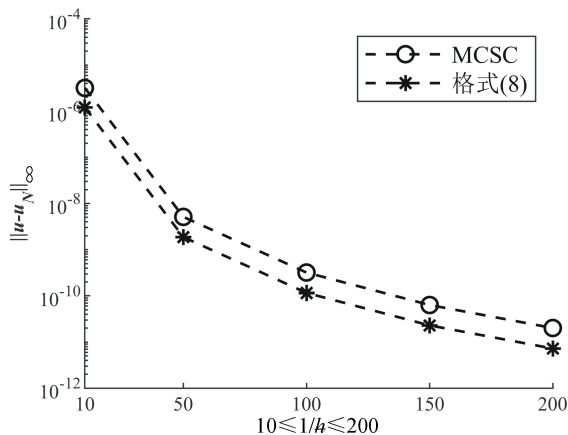


图 5 例 4 关于式(8)和 MCSC 法的 L^∞ -范数误差

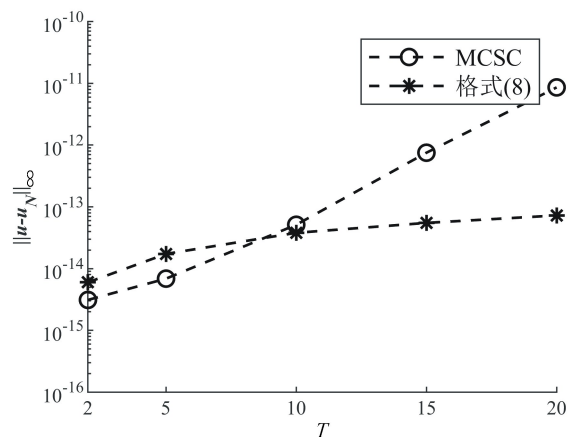
$$\begin{cases} \partial_x u(x) = \cos x - \frac{1}{2} \sin 2x + \frac{\sin x}{4} (\cos 2x - 1) - \\ \frac{\cos x}{2} \left(x - \frac{1}{2} \sin 2x \right) + \cos x u(x) + \\ \int_0^x \sin(x+s) u(s) ds, \quad t \in I, \\ u(0) = 0. \end{cases} \quad (13)$$

选择适当右端源项与核函数使得对应的精确解为 $u(x) = \sin x, x \in I := [0, T]$ 。

分别利用文献[18]中的 MCSC 方法和多区间 Legendre 谱 Galerkin 最小二乘数值积分法(8)求解式(13)的 L^∞ -范数误差, 其图像如图 6 所示。文献[18]中, 配置点固定数为 11(即多项式次数 $N=10$), 子区间大小固定为 $h=1/2$ 。为了方便比较, 令式(8)计算时多项式次数固定为 $N=10$ (配置点数量为 11), 取 $h=1/2$, 令 $T=2, 5, 10, 15, 20$ 。从图 6 可看出, 式(8)在 T 大于 10 时的精度略优于 MCSC 方法的精度, 表明该方法在计算区间略大的问题时是有优势的。

3 结束语

对变系数 Volterra 型积分微分方程, 分别提出了 Legendre 谱 Galerkin 数值积分方法和 Legendre Galerkin 最小二乘方法。第一种方法采用 Legendre tau 方法进行离散, 因此, 对奇数阶方程其格式具有对称的特点, 从而方便今后格式收敛性分析的研究。在计算中, 采用了 Chebyshev-Gauss-Lobatto 配置点插值, 使得格式可采用 FFT 算法得到其系数, 所以提高了格式计算效率。对区间较大的模型, 通过合理选择区间剖分数量和增加多项式次数, 使得算法在实施中具有自适应技术的优点。第二种方法, 基于最小二

图 6 例 5 的 L^∞ -范数误差

乘原理,研究了 Legendre 谱 Galerkin 最小二乘数值积分法。该方法对应的离散方程具有对称结构,因此便于采用迭代方法求解。数值算例验证了这两类 Legendre 谱 Galerkin 方法的高阶精度与有效性。数值算例说明了这两类方法对于变系数 Volterra 型积分微分方程有高阶精度。此外,将该方法的数值实验得到的数值误差与文献[18]中的误差进行比较,结果表明该方法具有一定的优越性。下一步将研究将该方法推广到非线性的 Volterra 的积分微分方程和带奇性模型的计算。

参考文献:

- [1] BRUNNER H. Collocation Methods for Volterra Integral and Related Functional Differential Equations [M]. Cambridge: Cambridge University Press, 2004.
- [2] CHUKWU E N. Volterra integro-differential neutral dynamics for the growth of wealth of nations: a controllability theory[J]. Indian Journal of Pure and Applied Mathematics, 1998, 29(7): 723-799.
- [3] TANG Tao, YUAN Wei. The further study of a certain nonlinear integro-differential equation[J]. Journal of Computational Physics, 1987, 72(2): 486-497.
- [4] TANG Tao. A note on collocation methods for Volterra integro-differential equations with weakly singular kernels[J]. IMA Journal of Numerical Analysis, 1993, 13(1): 93-99.
- [5] YANG Yin, CHEN Yanping. Spectral collocation methods for nonlinear Volterra integro-differential equations with weakly singular kernels[J]. Bulletin of the Malaysian Mathematical Sciences Society, 2019, 42(1): 297-314.
- [6] SHENG Changtao, WANG Zhongqing, GUO Benyu. A multistep legendre-gauss spectral collocation method for nonlinear volterra integral equations[J]. SIAM

Journal on Numerical Analysis, 2014, 52(4): 1953-1980.

- [7] BRUNNER H. Implicit Runge-Kutta methods of optimal order for Volterra integro-differential equations [J]. Mathematics of Computation, 1984, 42(165): 95-109.
- [8] WEN Jiao, HUANG Chengming, LI Min. Stability analysis of Runge-Kutta methods for Volterra integro-differential equations [J]. Applied Numerical Mathematics, 2019, 146: 73-88.
- [9] YI Lijun, GUO Benqi. An hp version of the continuous-Petrov-Galerkin finite element method for Volterra integro-differential equations with smooth and non-smooth kernels[J]. SIAM Journal on Numerical Analysis, 2015, 53(6): 2677-2704.
- [10] XIE Ziqiang, LI Xianjuan, TANG Tao. Convergence analysis of spectral Galerkin methods for Volterra type integral equations[J]. Journal of Scientific Computing, 2012, 53(2): 414-434.
- [11] LI Qifa, XIE Ziqiang, TAO Xia. Supergeometric convergence of spectral Legendre Galerkin approach for linear integro-differential equations [J]. Journal of Natural Science of Hunan University, 2013, 36(2): 1-7.
- [12] HUANG Can. Spectral Galerkin methods for a weakly singular Volterra integral equation of the second kind [J]. IMA Journal of Numerical Analysis, 2016, 37(3): 1411-1436.
- [13] TAO Xia, XIE Ziqiang, ZHOU Xiaojun. Spectral Petrov-Galerkin methods for the second kind volterra type integro-differential equations[J]. Numerical Mathematics: Theory, Methods and Applications, 2011, 4(2): 216-236.
- [14] LAELI DASTJERDI H, MAALEK GHAINI F M. Numerical solution of Volterra-Fredholm integral equations by moving least square method and Chebyshev polynomials [J]. Applied Mathematical Modelling, 2012, 36(7): 3283-3288.
- [15] MASHALLA M, ELHAM T, MASOUMEH P. Application of moving least squares algorithm for solving systems of Volterra integral equations[J]. International Journal of Nonlinear Sciences and Numerical Simulation, 2021, 22(3): 255-265.
- [16] JIANG Yingjun. On spectral methods for Volterra type integro-differential equations[J]. Journal of Computational and Applied Mathematics, 2009, 230(2): 333-340.
- [17] LI Jin, CHENG Yongling. Numerical solution of Volterra integro-differential equations with linear barycentric rational method[J]. International Journal of Applied

and Computational Mathematics,2020,6(5):137.

[18] GU Zhendong. Multi-step chebyshev spectral collocation method for volterra integro -differential equations [J]. Calcolo,2016,53(4):559-583.

[19] WANG Zhongqing, GUO Yuling, YI Lijun. An hp-version Legendre Jacobi spectral collocation method for Volterra integro-differential equations with smooth and weakly singular kernels[J]. Mathematics of Computation,2017,86(307):2285-2324.

[20] TANG Jianguo, MA Heping. Single and multi-interval Legendre τ -methods in time for parabolic equations [J]. Advances in Computational Mathematics,2002,17(4):349-367.

[21] ZHANG Yanyan, MA Heping. Legendre -tau spectral method for initial value problems of ordinary differentialequations[J]. Communication on Applied Mathematics and Computation,2017,31(1):85-95.

[22] QIN Yonghui, MA Heping. Legendre-tau-Galerkin and spectral collocation method for nonlinear evolution equations[J]. Applied Numerical Mathematics, 2020, 153:52-65.

[23] KARIMI S,JOZI M. A new iterative method for solvinglinear Fredholm integral equations using the least squares method[J]. Applied Mathematics and Computation,2015,250:744-758.

[24] 胡玉巧,覃永辉,范友康. 抛物方程的 Legendre Galerkin 谱配置最小二乘法[J]. 桂林电子科技大学学报, 2021,41(1):55-60.

[25] MALEKNEJAD K, KHODABIN M, ROSTAMI M. Numerical solution of stochastic volterra integral equations by a stochastic operational matrix based on block pulse functions[J]. Mathematical and Computer Modelling,2012,55(3):791-800.

[26] AHMADINIA M,AFSHARI A H,HEYDARI M. Numerical solution of Ito-Volterra integral equation by least squares method[J]. Numerical Algorithms,2020, 84(2):591-602.

编辑:张所滨

chinaXiv:202302.00090v1